

# 1 Теория

Решаемое уравнение в общем виде:

$$-\operatorname{div}(\lambda \operatorname{grad} u) + \gamma u + \sigma \frac{\partial u}{\partial t} + \chi \frac{\partial^2 u}{\partial t^2} = f$$

Решаемое уравнение в декартовой двумерной системе координат:

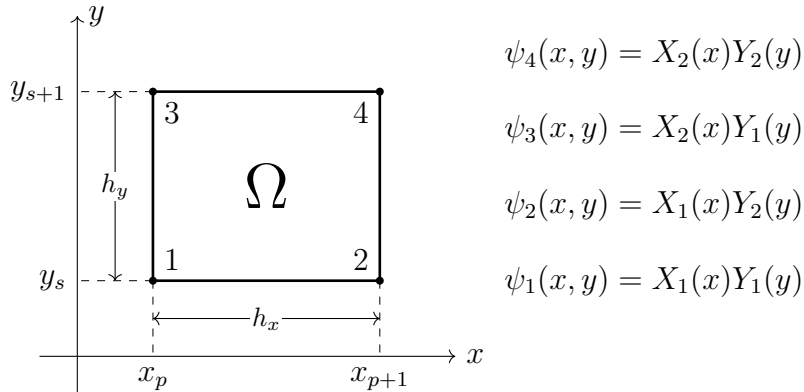
$$-\frac{\partial}{\partial x} \left( \lambda \frac{\partial u}{\partial x} \right) - \frac{\partial}{\partial y} \left( \lambda \frac{\partial u}{\partial y} \right) + \gamma u + \sigma \frac{\partial u}{\partial t} + \chi \frac{\partial^2 u}{\partial t^2} = f$$

Первые краевые условия:

$$u|_S = u_s$$

Формулы для билинейных базисных функций прямоугольных элементов:

$$\begin{aligned} X_1(x) &= \frac{x_{p+1} - x}{h_x} & h_x &= x_{p+1} - x_p \\ X_2(x) &= \frac{x - x_p}{h_x} & h_y &= y_{s+1} - y_s \\ Y_1(y) &= \frac{y_{s+1} - y}{h_y} & x \in [x_p, x_{p+1}], y \in [y_s, y_{s+1}] \\ Y_2(y) &= \frac{y - y_s}{h_y} & \Omega_{ps} &= [x_p, x_{p+1}] \times [y_s, y_{s+1}] \end{aligned}$$



И значение конечно-элементной аппроксимации на этом конечном элементе равно:

$$u_{ps}^*(x, y) = \sum_{i=1}^4 q_i \psi_i(x, y)$$

Аналитические выражения для вычисления элементов локальных матриц:

$$\begin{aligned} G_{ij} &= \int_{x_p}^{x_{p+1}} \int_{y_s}^{y_{s+1}} \lambda \left( \frac{\partial \psi_i}{\partial x} \frac{\partial \psi_j}{\partial x} + \frac{\partial \psi_i}{\partial y} \frac{\partial \psi_j}{\partial y} \right) dx dy \\ M_{ij}^\gamma &= \int_{x_p}^{x_{p+1}} \int_{y_s}^{y_{s+1}} \gamma \psi_i \psi_j dx dy, \quad b_i = \int_{x_p}^{x_{p+1}} \int_{y_s}^{y_{s+1}} f \psi_i dx dy \end{aligned}$$

Вычисленные матрицы для билинейных прямоугольных элементов:

$$\mathbf{G} = \frac{\bar{\lambda} h_y}{6 h_x} \begin{pmatrix} 2 & -2 & 1 & -1 \\ -2 & 2 & -1 & 1 \\ 1 & -1 & 2 & -2 \\ -1 & 1 & -2 & 2 \end{pmatrix} + \frac{\bar{\lambda} h_x}{6 h_y} \begin{pmatrix} 2 & 1 & -2 & -1 \\ 1 & 2 & -1 & -2 \\ -2 & -1 & 2 & 1 \\ -1 & -2 & 1 & 2 \end{pmatrix}$$

$$\mathbf{C} = \frac{h_x h_y}{36} \begin{pmatrix} 4 & 2 & 2 & 1 \\ 2 & 4 & 1 & 2 \\ 2 & 1 & 4 & 2 \\ 1 & 2 & 2 & 4 \end{pmatrix} \quad \begin{aligned} \mathbf{M}^\gamma &= \bar{\gamma} \mathbf{C} \\ \mathbf{f} &= (f_1, f_2, f_3, f_4)^t \\ \mathbf{b} &= \mathbf{C} \cdot \mathbf{f} \end{aligned}$$

Схема Кранка-Николсона:

$$\begin{aligned} \frac{\partial u}{\partial t} &= \frac{u^j - u^{j-2}}{2\Delta t}, \quad \frac{\partial^2 u}{\partial t^2} = \frac{u^j - 2u^{j-1} + u^{j-2}}{\Delta t^2} \\ u &= \frac{u^j + u^{j-2}}{2}, \quad f = \frac{f^j + f^{j-2}}{2} \end{aligned}$$

$$-\operatorname{div} \left( \lambda \operatorname{grad} \frac{u^j + u^{j-2}}{2} \right) + \gamma \frac{u^j + u^{j-2}}{2} + \sigma \frac{u^j - u^{j-2}}{2\Delta t} + \chi \frac{u^j - 2u^{j-1} + u^{j-2}}{\Delta t^2} = \frac{f^j + f^{j-2}}{2}$$

Подставляя это в уравнение Галёркина, получаем СЛАУ из глобальных матриц:

$$\left( \frac{\mathbf{G}}{2} + \frac{\mathbf{M}^\gamma}{2} + \frac{\mathbf{M}^\sigma}{2\Delta t} + \frac{\mathbf{M}^\chi}{\Delta t^2} \right) \mathbf{q}^j = \frac{(\mathbf{b}^j + \mathbf{b}^{j-2})}{2} - \frac{\mathbf{G}\mathbf{q}^{j-2}}{2} - \frac{\mathbf{M}^\gamma \mathbf{q}^{j-2}}{2} + \frac{\mathbf{M}^\sigma \mathbf{q}^{j-2}}{2\Delta t} - \frac{\mathbf{M}^\chi (-2\mathbf{q}^{j-1} + \mathbf{q}^{j-2})}{\Delta t^2}$$

В нашем случае, так как  $\gamma$ ,  $\sigma$ ,  $\chi$  являются константами, можно записать:

$$\left( \frac{\mathbf{G}}{2} + \mathbf{C} \left( \frac{\gamma}{2} + \frac{\sigma}{2\Delta t} + \frac{\chi}{\Delta t^2} \right) \right) \mathbf{q}^j = \frac{(\mathbf{b}^j + \mathbf{b}^{j-2})}{2} - \frac{\mathbf{G}\mathbf{q}^{j-2}}{2} + \mathbf{C} \left( \mathbf{q}^{j-1} \frac{2\chi}{\Delta t^2} + \mathbf{q}^{j-2} \left( -\frac{\gamma}{2} + \frac{\sigma}{2\Delta t} - \frac{\chi}{\Delta t^2} \right) \right)$$

Для неравномерной же сетки по времени имеем только отличие в:

$$t_2 = t^{j-2}, \quad t_1 = t^{j-1}, \quad t_0 = t^j$$

$$\frac{\partial u}{\partial t} = \frac{u^j - u^{j-2}}{t_2 - t_1} = \frac{u^j - u^{j-2}}{d_1}$$

$$\frac{\partial^2 u}{\partial t^2} = 2 \frac{u^j - u^{j-1} \frac{t_0 - t_2}{t_1 - t_2} + u^{j-2} \frac{t_0 - t_1}{t_1 - t_2}}{t_0(t_0 - t_1 - t_2) + t_1 t_2} = \frac{u^j - u^{j-1} m_1 + u^{j-2} m_2}{d_2}$$

Эти выражения были упрощены при помощи замен:

$$d_1 = t_0 - t_2, \quad d_2 = \frac{t_0(t_0 - t_1 - t_2) + t_1 t_2}{2}, \quad m_1 = \frac{t_0 - t_2}{t_1 - t_2}, \quad m_2 = \frac{t_0 - t_1}{t_1 - t_2}$$

И итоговый результат будет:

$$\left( \frac{\mathbf{G}}{2} + \mathbf{C} \left( \frac{\gamma}{2} + \frac{\sigma}{d_1} + \frac{\chi}{d_2} \right) \right) \mathbf{q}^j = \frac{(\mathbf{b}^j + \mathbf{b}^{j-2})}{2} - \frac{\mathbf{G}\mathbf{q}^{j-2}}{2} + \mathbf{C} \left( \mathbf{q}^{j-1} \frac{m_1 \chi}{d_2} + \mathbf{q}^{j-2} \left( -\frac{\gamma}{2} + \frac{\sigma}{d_1} - \frac{m_2 \chi}{d_2} \right) \right)$$

## 2 Структуры данных

Для задания сетки используется класс:

```
class grid_generator_t
{
public:
    grid_generator_t(double a, double b, int n, double t = 0);
    double operator()(int i) const;
    int size(void) const;
    double back(void) const;
private:
    double a, len, t, n1;
};
```

Для задания узла конечного элемента структура:

```
struct basic_elem_t
{
    int i; /// Номер узла

    double x, y; /// Координаты узла

    basic_elem_t *up, *down, *left, *right; /// Указатели на соседей узла

    /** Проверяет, является ли элемент граничным. Он таким является, если у него нет хотя бы одного соседа. */
    bool is_boundary(void) const;
};
```

Для задания конечного элемента используется структура:

```
struct elem_t
{
    int i; /// Номер конечного элемента
    basic_elem_t* e[4]; /// Указатели на все 4 элемента конечного узла, нумерация такая:
    /**
        Y
        ^ 3 +-----+ 4
        |   |       |
        |   |       |
        | 1 +-----+ 2
        +-----+-----> X
        |
        */

    double get_hx(void) const; /// Ширина конечного элемента
    double get_hy(void) const; /// Высота конечного элемента

    /** Рассчитать значение внутри конечного элемента. q - вектор рассчитываемых весов. */
    double value(double x, double y, const vector_t& q) const;
};
```

Прямоугольная сетка задается и вычисляется с помощью класса:

```
class grid_t
{
public:
    vector<elem_t> es; /// Массив конечных элементов сетки
    vector<basic_elem_t> bes; /// Массив узлов сетки
    int n; /// Число узлов

    /** Рассчитать неравномерную сетку. */
    void calc(const grid_generator_t& gx, const grid_generator_t& gy);
};
```

Локальные матрицы формируются, получая на вход конечный элемент `elem_t`.

Для генерации разреженной матрицы используется класс с возможностью произвольного доступа к элементам:

```
class matrix_sparse_ra_t
{
public:
    matrix_sparse_ra_t(int n);

    /** Установить значение в позиции (i, j) */
    double& operator()(int i, int j);

    /** Получить значение в позиции (i, j). Если туда ещё не устанавливалось значение, вызывается
    ↪ исключение. */
    const double& operator()(int i, int j) const;

    /** Преобразует текущую матрицу к разреженной матрице. */
    matrix_sparse_t to_sparse(void) const;
private:
    int n;
    vector<double> dm;
    vector<map<int, double>> lm, um;
};
```

### 3 Исследования

Во всех исследованиях заданы следующие параметры  $\lambda = \gamma = \sigma = \chi = 1$ .

СЛАУ решается при помощи Локально-Оптимальной Схемы (ЛОС) с неполным LU предобуславливанием.

#### 3.1 Таблицы

Далее в таблицах будут указаны две функции:  $\text{space}(x, y)$  и  $\text{time}(t)$ , итоговая функция  $u$  будет формироваться из них:  $u(x, y, t) = \text{space}(x, y) + \text{time}(t)$ .

В таблицах для каждой функции указано три значения:

- Интеграл разности между истинной функцией и конечно-элементной аппроксимацией.
- Норма разности векторов  $q$  для найденного решения и  $q$ , полученного из истинного значения функции.
- Время решения в миллисекундах.

##### 3.1.1 10 на 10 на 10

Сетка по пространству:  $(x, y) \in [0, 1] \times [0, 1]$ , строк и столбцов 10. Сетка по времени:  $t \in [0, 1]$ , количество элементов сетки 10. Все сетки равномерные.

$\text{space}(x, y) \backslash \text{time}(t)$	0	$t$	$t^2$	$t^3$	$t^4$	$e^t$
1	$0.36 \cdot 10^{-15}$ $0.57 \cdot 10^{-14}$ 47	$0.36 \cdot 10^{-11}$ $0.45 \cdot 10^{-10}$ 46	$0.34 \cdot 10^{-11}$ $0.42 \cdot 10^{-10}$ 48	$0.76 \cdot 10^{-3}$ $1 \cdot 10^{-2}$ 38	$0.76 \cdot 10^{-3}$ $1 \cdot 10^{-2}$ 37	$0.61 \cdot 10^{-3}$ $0.8 \cdot 10^{-2}$ 51
$x + y$	$0.22 \cdot 10^{-11}$ $0.35 \cdot 10^{-10}$ 66	$0.35 \cdot 10^{-11}$ $0.46 \cdot 10^{-10}$ 74	$0.24 \cdot 10^{-11}$ $0.38 \cdot 10^{-10}$ 61	$0.76 \cdot 10^{-3}$ $1 \cdot 10^{-2}$ 52	$0.76 \cdot 10^{-3}$ $1 \cdot 10^{-2}$ 77	$0.61 \cdot 10^{-3}$ $0.8 \cdot 10^{-2}$ 84
$x^2 + y$	$0.28 \cdot 10^{-2}$ $0.24 \cdot 10^{-10}$ 81	$0.28 \cdot 10^{-2}$ $0.15 \cdot 10^{-10}$ 89	$0.28 \cdot 10^{-2}$ $0.24 \cdot 10^{-10}$ 120	$0.35 \cdot 10^{-2}$ $1 \cdot 10^{-2}$ 53	$0.35 \cdot 10^{-2}$ $1 \cdot 10^{-2}$ 63	$0.34 \cdot 10^{-2}$ $0.8 \cdot 10^{-2}$ 61
$x^2 y + y^3$	$0.28 \cdot 10^{-2}$ $0.17 \cdot 10^{-10}$ 40	$0.28 \cdot 10^{-2}$ $0.23 \cdot 10^{-10}$ 113	$0.28 \cdot 10^{-2}$ $0.38 \cdot 10^{-10}$ 62	$0.35 \cdot 10^{-2}$ $1 \cdot 10^{-2}$ 60	$0.35 \cdot 10^{-2}$ $1 \cdot 10^{-2}$ 64	$0.34 \cdot 10^{-2}$ $0.8 \cdot 10^{-2}$ 82
$xy^2$	$0.69 \cdot 10^{-3}$ $0.93 \cdot 10^{-11}$ 71	$0.69 \cdot 10^{-3}$ $0.17 \cdot 10^{-10}$ 57	$0.69 \cdot 10^{-3}$ $0.13 \cdot 10^{-10}$ 60	$0.14 \cdot 10^{-2}$ $1 \cdot 10^{-2}$ 90	$0.14 \cdot 10^{-2}$ $1 \cdot 10^{-2}$ 56	$0.13 \cdot 10^{-2}$ $0.8 \cdot 10^{-2}$ 59
$x^4 + y^4$	$0.43 \cdot 10^{-2}$ 0.02 52	$0.43 \cdot 10^{-2}$ 0.02 60	$0.43 \cdot 10^{-2}$ 0.02 55	$0.48 \cdot 10^{-2}$ $1 \cdot 10^{-2}$ 50	$0.48 \cdot 10^{-2}$ $1 \cdot 10^{-2}$ 37	$0.47 \cdot 10^{-2}$ 0.012 52
$e^{xy}$	$0.68 \cdot 10^{-3}$ $0.18 \cdot 10^{-3}$ 52	$0.68 \cdot 10^{-3}$ $0.18 \cdot 10^{-3}$ 50	$0.68 \cdot 10^{-3}$ $0.18 \cdot 10^{-3}$ 50	$0.14 \cdot 10^{-2}$ $0.98 \cdot 10^{-2}$ 48	$0.14 \cdot 10^{-2}$ $0.98 \cdot 10^{-2}$ 53	$0.13 \cdot 10^{-2}$ $0.78 \cdot 10^{-2}$ 57

**Вывод:** полностью (на всей области конечных элементов, а не только в узлах) аппроксимируются только линейные функции по пространству и для степени  $t$  равной 0, 1 или 2.

**Вывод:** значения в узлах полностью аппроксимируются только до полиномов 3 степени включительно по пространству.

**Вывод:** порядок аппроксимации по пространству — 3, порядок аппроксимации по времени — 2.

**Вывод:** все функции считаются примерно за одинаковое время.

### 3.1.2 50 на 50 на 50

Сетки аналогичны предыдущему пункту, только число элементов по всем сеткам равно 50.

time(t) space(x, y)	0	t	t <sup>2</sup>	t <sup>3</sup>	t <sup>4</sup>	e <sup>t</sup>
1	0.16 · 10 <sup>-13</sup> 0.99 · 10 <sup>-12</sup> 11457	0.47 · 10 <sup>-12</sup> 0.27 · 10 <sup>-10</sup> 7489	0.34 · 10 <sup>-11</sup> 0.25 · 10 <sup>-9</sup> 5392	0.32 · 10 <sup>-4</sup> 0.19 · 10 <sup>-2</sup> 9174	0.32 · 10 <sup>-4</sup> 0.19 · 10 <sup>-2</sup> 10206	0.27 · 10 <sup>-4</sup> 0.16 · 10 <sup>-2</sup> 8092
x + y	0.22 · 10 <sup>-11</sup> 0.14 · 10 <sup>-9</sup> 7857	0.43 · 10 <sup>-11</sup> 0.26 · 10 <sup>-9</sup> 6748	0.19 · 10 <sup>-11</sup> 0.12 · 10 <sup>-9</sup> 9419	0.32 · 10 <sup>-4</sup> 0.19 · 10 <sup>-2</sup> 4634	0.32 · 10 <sup>-4</sup> 0.19 · 10 <sup>-2</sup> 5804	0.27 · 10 <sup>-4</sup> 0.16 · 10 <sup>-2</sup> 8486
x <sup>2</sup> + y	0.13 · 10 <sup>-3</sup> 0.15 · 10 <sup>-10</sup> 10410	0.13 · 10 <sup>-3</sup> 0.23 · 10 <sup>-10</sup> 10355	0.13 · 10 <sup>-3</sup> 0.68 · 10 <sup>-10</sup> 7923	0.16 · 10 <sup>-3</sup> 0.19 · 10 <sup>-2</sup> 10917	0.16 · 10 <sup>-3</sup> 0.19 · 10 <sup>-2</sup> 5032	0.16 · 10 <sup>-3</sup> 0.16 · 10 <sup>-2</sup> 7798
x <sup>2</sup> y + y <sup>3</sup>	0.13 · 10 <sup>-3</sup> 0.22 · 10 <sup>-10</sup> 7839	0.13 · 10 <sup>-3</sup> 0.31 · 10 <sup>-10</sup> 7179	0.13 · 10 <sup>-3</sup> 0.53 · 10 <sup>-10</sup> 7845	0.16 · 10 <sup>-3</sup> 0.19 · 10 <sup>-2</sup> 9060	0.16 · 10 <sup>-3</sup> 0.19 · 10 <sup>-2</sup> 6514	0.16 · 10 <sup>-3</sup> 0.16 · 10 <sup>-2</sup> 5366
xy <sup>2</sup>	0.32 · 10 <sup>-4</sup> 0.58 · 10 <sup>-11</sup> 6304	0.32 · 10 <sup>-4</sup> 0.11 · 10 <sup>-10</sup> 7394	0.32 · 10 <sup>-4</sup> 0.13 · 10 <sup>-10</sup> 7865	0.64 · 10 <sup>-4</sup> 0.19 · 10 <sup>-2</sup> 7112	0.64 · 10 <sup>-4</sup> 0.19 · 10 <sup>-2</sup> 5152	0.59 · 10 <sup>-4</sup> 0.16 · 10 <sup>-2</sup> 5503
x <sup>4</sup> + y <sup>4</sup>	0.2 · 10 <sup>-3</sup> 0.37 · 10 <sup>-2</sup> 6207	0.2 · 10 <sup>-3</sup> 0.37 · 10 <sup>-2</sup> 6130	0.2 · 10 <sup>-3</sup> 0.37 · 10 <sup>-2</sup> 7456	0.23 · 10 <sup>-3</sup> 0.19 · 10 <sup>-2</sup> 6644	0.23 · 10 <sup>-3</sup> 0.19 · 10 <sup>-2</sup> 6714	0.22 · 10 <sup>-3</sup> 0.21 · 10 <sup>-2</sup> 6149
e <sup>xy</sup>	0.31 · 10 <sup>-4</sup> 0.34 · 10 <sup>-4</sup> 6485	0.31 · 10 <sup>-4</sup> 0.34 · 10 <sup>-4</sup> 6127	0.31 · 10 <sup>-4</sup> 0.34 · 10 <sup>-4</sup> 4679	0.63 · 10 <sup>-4</sup> 0.18 · 10 <sup>-2</sup> 5148	0.63 · 10 <sup>-4</sup> 0.18 · 10 <sup>-2</sup> 5606	0.59 · 10 <sup>-4</sup> 0.16 · 10 <sup>-2</sup> 4890

**Вывод:** предыдущие выводы не опроверглись.

**Вывод:** время вычислений выросло примерно в 110 раз.

## 3.2 Неравномерные сетки

### 3.2.1 Функции нелинейной сетки

В ходе выполнения лабораторной работы была обнаружена функция, позволяющая легко задавать неравномерную сетку, сгущающуюся к одному из концов.

Если у нас задано начало —  $a$  и конец сетки —  $b$ , а количество элементов  $n$ , тогда сетку можно задать следующим образом:

$$x_i = a + m\left(\frac{i}{n}\right) \cdot (b - a), i = \overline{0, n}$$

где  $m(x)$  — некоторая функция, задающая неравномерную сетку. При этом  $x$  обязан принадлежать области  $[0, 1]$ , а функция  $m$  возвращать значения из той же области, и при этом быть монотонной на этом участке. Тогда гарантируется условие монотонности сетки, то есть что при  $j \leq i \Rightarrow x_j \leq x_i$ .

*Пример:* при  $m(x) = x$ , сетка становится равномерной.

Найденная функция зависят от параметра неравномерности  $t$ :

$$m_t(x) = \frac{1 - (1 - |t|)^{x \operatorname{sign} t}}{1 - (1 - |t|)^{\operatorname{sign} t}}$$

Эта функции вырождается в  $x$  при  $t = 0$ ; при  $t = -1$ , она вырождается в сетку, полностью находящуюся в 0; а при  $t = 1$  она полностью сгущается к 1.

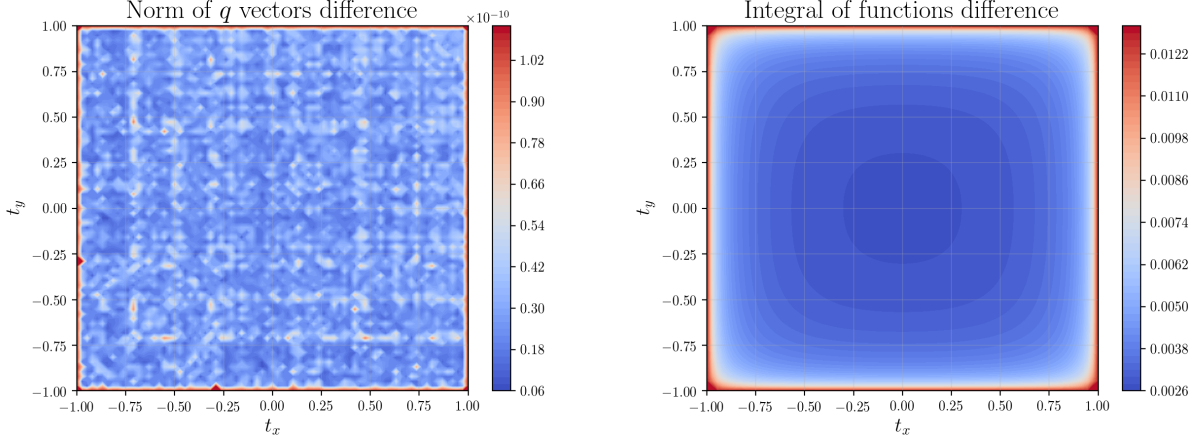
Таким образом, можно исследовать различные неравномерные сетки, изменяя параметр от  $-1$  до  $1$ , где точка  $t = 0$  будет являться результатом на равномерной сетке.

### 3.2.2 По пространству

Сетка по пространству:  $(x, y) \in [0, 1] \times [0, 1]$ , строк и столбцов 10. Сетка по времени:  $t \in [0, 1]$ , количество элементов сетки 10.

#### 3.2.2.1 Функция 1

$$u = x^2 + y^2 + t^2$$

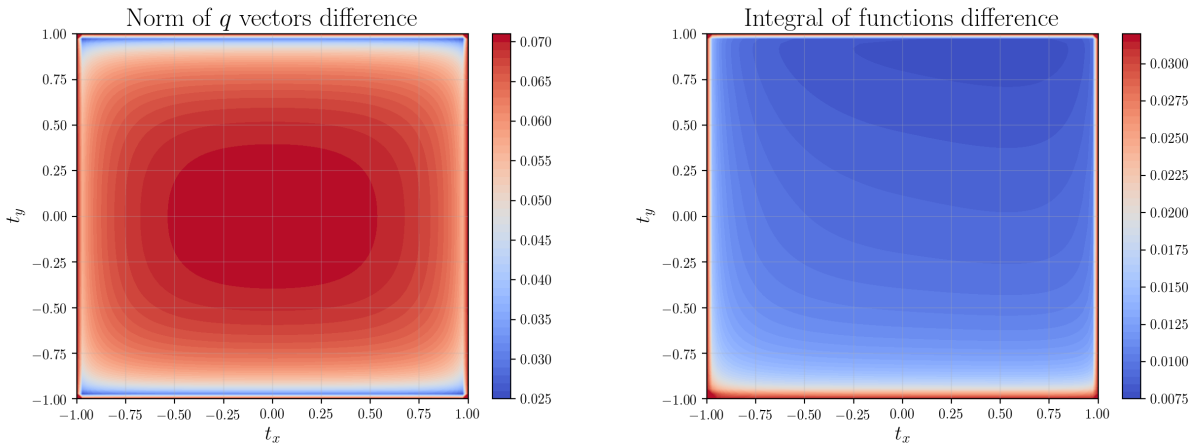


**Вывод:** так как эта функция полностью аппроксимируется данным методом в узлах, то не имеет значения насколько сетка неравномерна, примерно во всех элементах она имеет одинаковую невязку, согласно левому графику. Разве что в сильно неравномерных сетках, где элементы сильно сгущены к одному из концов, точностью страдает на несколько порядков.

**Вывод:** а по интегральной норме лучшей сеткой является равномерная сетка согласно правому графику.

#### 3.2.2.2 Функция 2

$$u = x^4 + y^3x + t^4$$



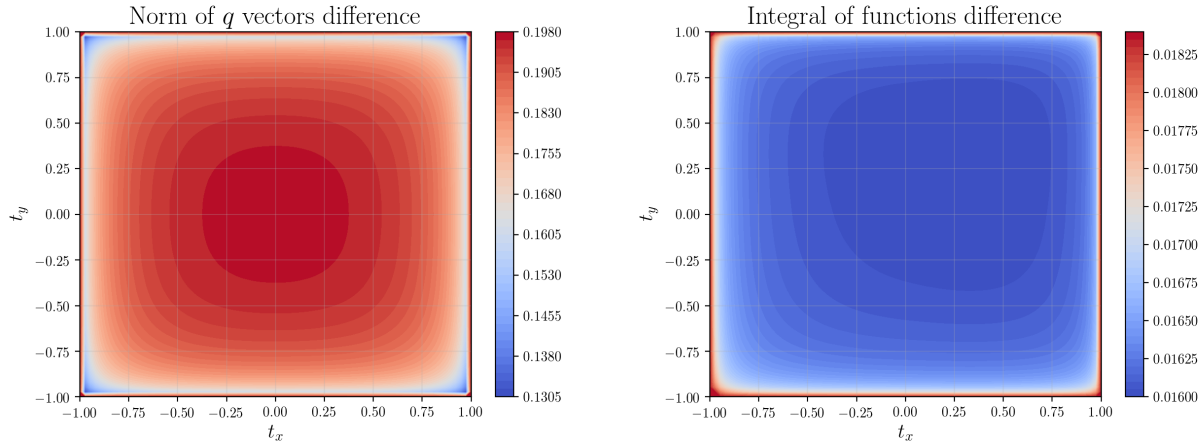
**Вывод:** согласно левому графику норма в узлах лучше всего аппроксимируется при сгущении по  $y$  в одну или другую сторону. По  $x$  же неравномерность сетки практически ни на что не влияет.

**Вывод:** лучшая точность, даваемая неравномерной сетки примерно на полпорядка лучше, чем при равномерной.

**Вывод:** по интегральной же норме существует некоторая комбинация параметров, при которых сетка получается оптимальной. Но различия от неравномерной сетки ничтожны.

### 3.2.2.3 Функция 3

$$u = e^{xy} + e^{t^2}$$

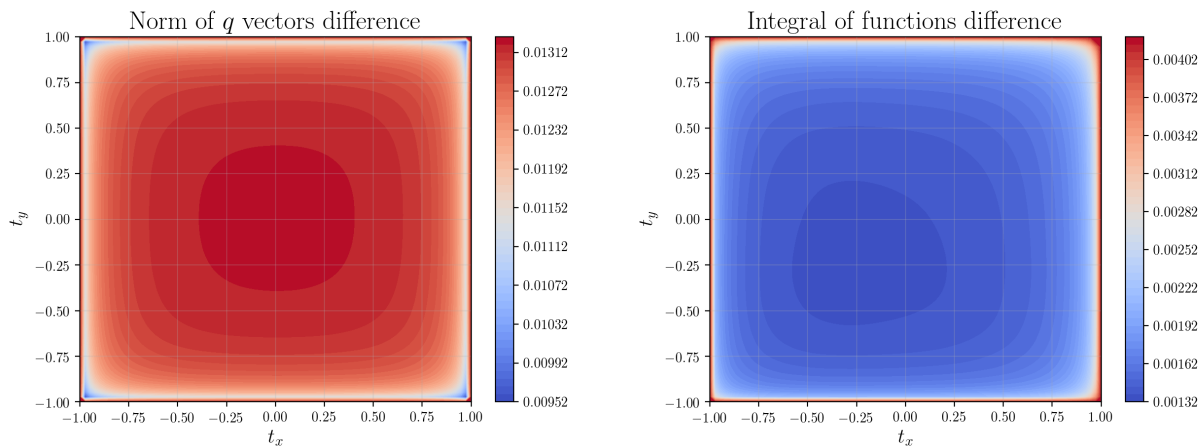


**Вывод:** согласно левому графику аппроксимация в узлах тоже имеет некоторые оптимальные значения, причем точность увеличивается на порядок.

**Вывод:** для интегральной же нормы различия же от равномерной сетки ничтожны при любых параметрах сетки.

### 3.2.2.4 Функция 4

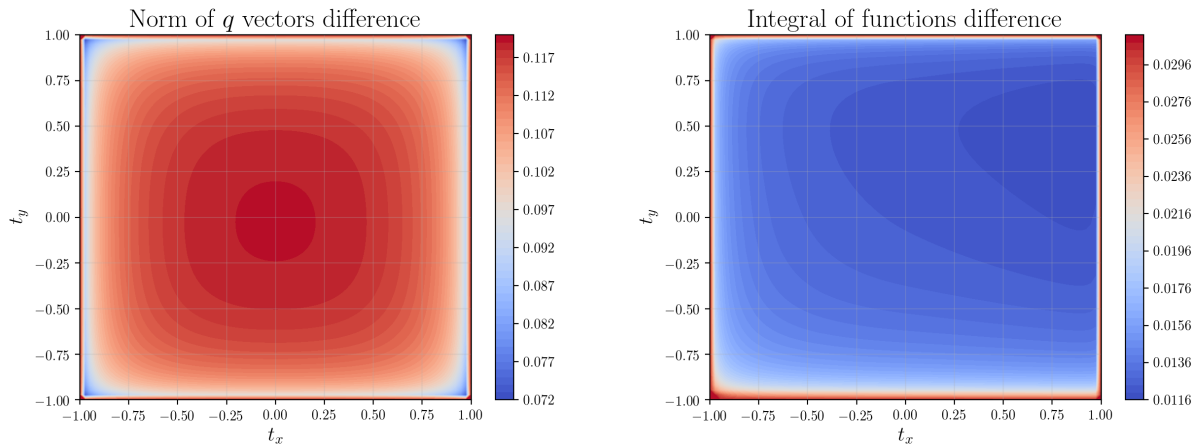
$$u = e^{(1-x)(1-y)} + e^{(1-t)^2}$$



**Вывод:** эта функция отличается от предыдущей, что для неё инвертировано положение  $x$  и  $y$ , график по интегральной норме соответственно изменился.

### 3.2.2.5 Функция 5

$$u = x^3 + y^4 x^2 t + t^2 e^t$$



**Вывод:** всё аналогично предыдущим выводам и функциям.

### 3.2.2.6 Общие выводы

**Вывод:** хорошая аппроксимация в узлах  $\neq$  хорошая аппроксимация по интегральной норме.

**Вывод:** согласно интегральной норме для неполиномиальных функций существует некоторый набор параметров  $t_x$  и  $t_y$ , при которых нелинейная сетка оптимальным образом аппроксимирует функцию.

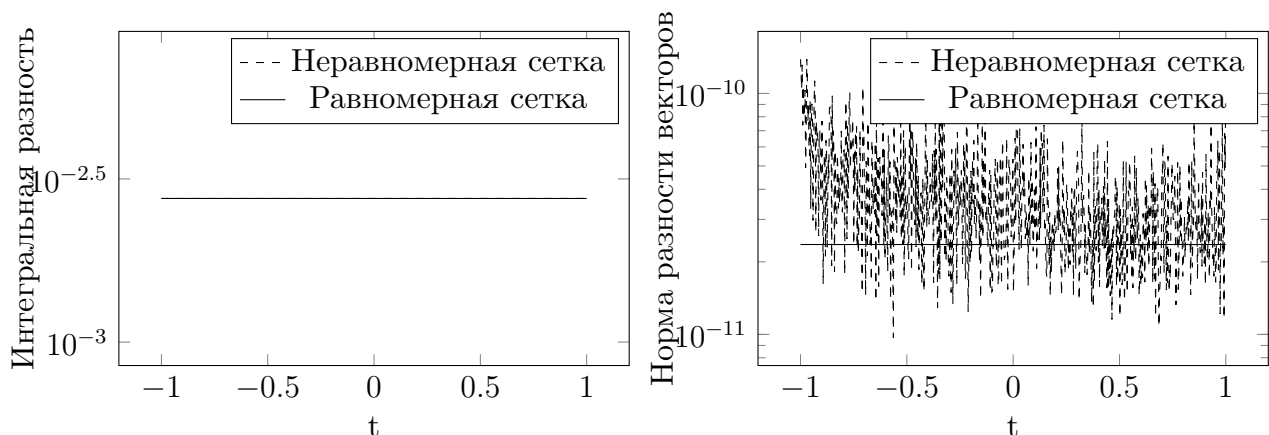
**Вывод:** согласно норме в узлах для неполиномиальных функций оптимальными являются параметры в окрестности  $\pm 1$ .

### 3.2.3 По времени

Сетка по пространству:  $(x, y) \in [0, 1] \times [0, 1]$ , строк и столбцов 10. Сетка по времени:  $t \in [0, 1]$ , количество элементов сетки 10.

#### 3.2.3.1 Функция 1

$$u = x^2 + y^2 + t^2$$

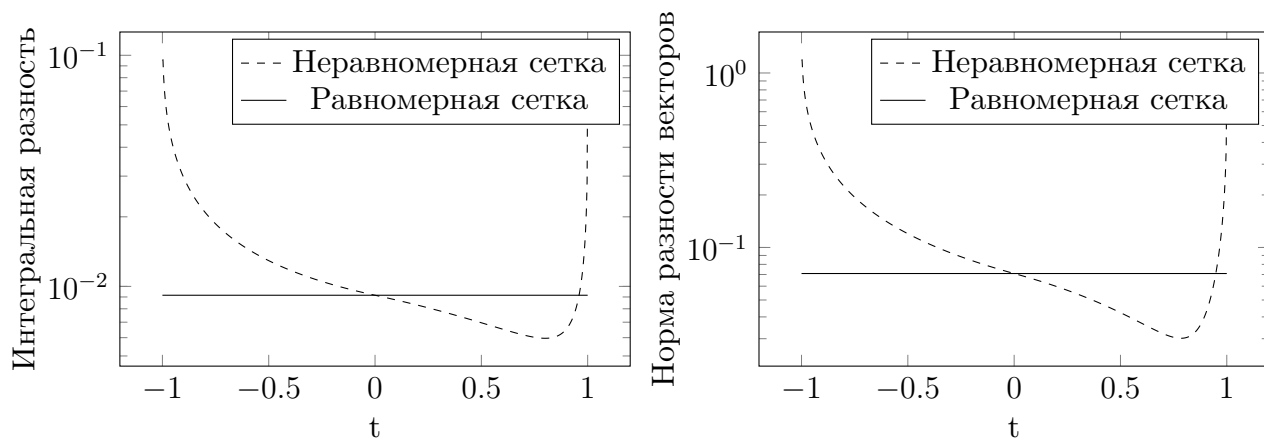


**Вывод:** так как по времени эта функция аппроксимируется точно, то неравномерность сетки никак не влияет на точность. Правый график колеблется в пределах максимальной точности, левый же абсолютно не меняется.



### 3.2.3.2 Функция 2

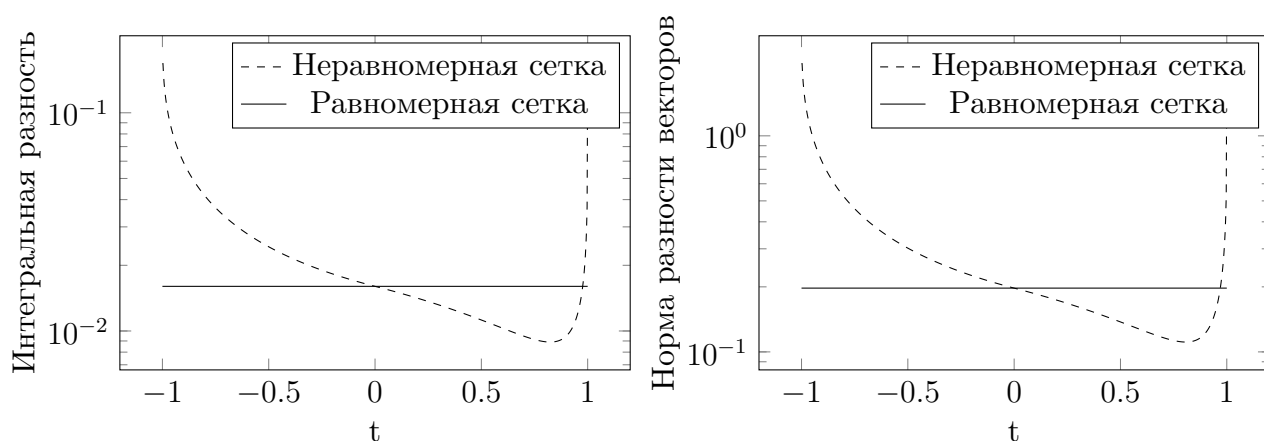
$$u = x^4 + y^3x + t^4$$



**Вывод:** для данной функции в сетки есть выраженный минимум в окрестности  $t = 0.7$ , но улучшение точности на нем примерно полпорядка.

### 3.2.3.3 Функция 3

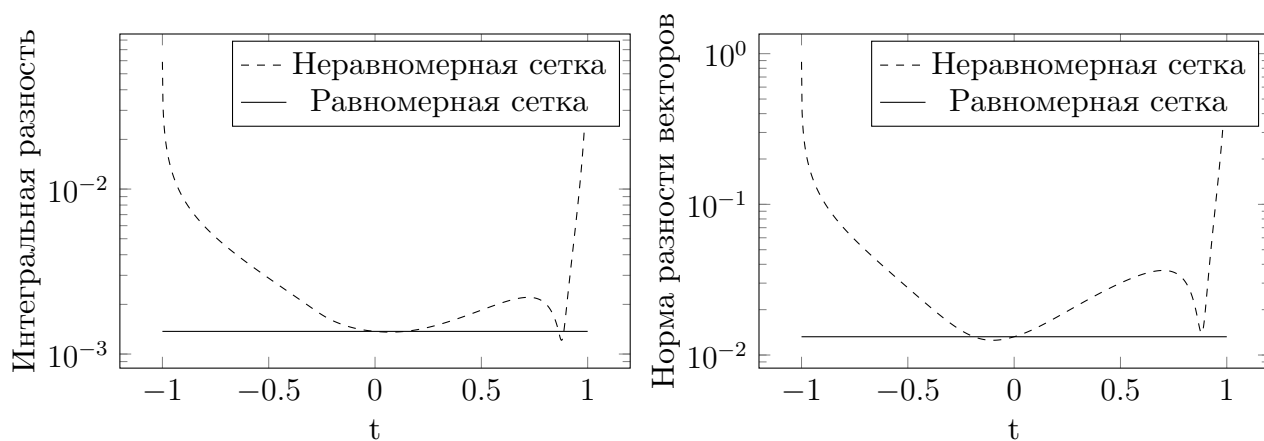
$$u = e^{xy} + e^{t^2}$$



**Вывод:** всё аналогично предыдущему.

### 3.2.3.4 Функция 4

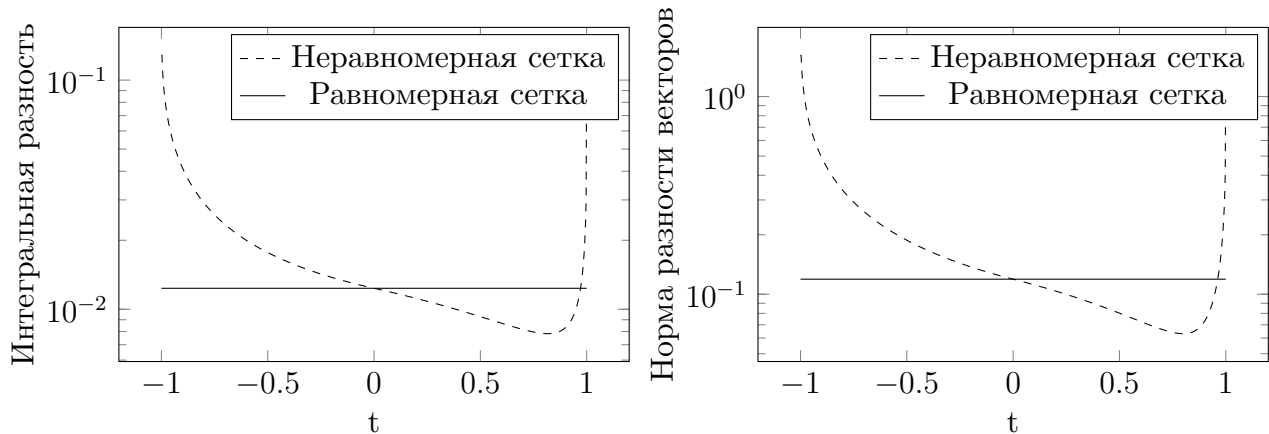
$$u = e^{(1-x)(1-y)} + e^{(1-t)^2}$$



**Вывод:** эта функция является перевернутой версией предыдущей, но график аналогично не перевернулся, а наблюдается более сложная зависимость. Для данной функции неравномерная сетка по времени практически везде дает отрицательный эффект по сравнению с равномерной сеткой.

### 3.2.3.5 Функция 5

$$u = x^3 + y^4 x^2 t + t^2 e^t$$



### 3.2.3.6 Общие выводы

**Вывод:** у множества функций наблюдалось схожее поведение на неравномерной сетке по времени, с наличием ярко выраженного минимума, и использование сетки с данным оптимальным параметром может улучшить точность решения на полпорядка.

## 4 Код

FILE main.cpp

```
1 #include <iostream>
2 #include <cmath>
3 #include <string>
4 #include <fstream>
5 #include <thread>
6 #include <future>
7 #include "lib.h"
8 #include "fem.h"
9
10 using namespace std;
11 using namespace placeholders;
12
13 //-----
14 struct fem_result_t
15 {
16     double integral_residual;
17     double norm_residual;
18     double time;
19 };
20
21 //-----
22 fem_result_t calc_fem_residual(
23     const function_3d_t& u,
24     const grid_generator_t& x_grid,
25     const grid_generator_t& y_grid,
26     const grid_generator_t& time_grid,
27     const constants_t& c = {1, 1, 1, 1}
28 ) {
29     fem_result_t res;
30     res.time = calc_time_microseconds([&]() {
31         auto f = calc_right_part(u, c);
```

```

32     boundary_setter_t set_boundary_conditions = bind(write_first_boundary_conditions, _1, _2, _3,
33     ↪ _4, u);
34
35     grid_t grid;
36     grid.calc(x_grid, y_grid);
37
38     vector_t q0 = calc_true_approx(bind(u, _1, _2, time_grid(0)), grid.bes);
39     vector_t q1 = calc_true_approx(bind(u, _1, _2, time_grid(1)), grid.bes);
40     vector_t q = calc_true_approx(bind(u, _1, _2, time_grid.back()), grid.bes);
41
42     auto steps = solve_differential_equation(f, set_boundary_conditions, q0, q1, c, grid,
43     ↪ time_grid);
44
45     res.integral_residual = calc_integral_norm(bind(u, _1, _2, time_grid.back()), grid.es,
46     ↪ steps.back());
47     res.norm_residual = (q-steps.back()).norm();
48
49     });
50     return res;
51 }
52
53 //-----
54 //-----
55 //-----
56
57 template<class Ret, class Key>
58 class async_performer_t
59 {
60 public:
61     void add(const function<Ret(void)>& f, const Key& key) {
62         mf[key] = async(f);
63     }
64
65     void finish(void) {
66         int counter = 0;
67         for (auto i = mf.rbegin(); i != mf.rend(); ++i) {
68             if (counter % (mf.size()/10000 + 1) == 0) {
69                 write_percent(double(counter)/mf.size());
70                 auto value = i->second.get();
71                 m[i->first] = value;
72                 counter++;
73             }
74             cout << "\r      \r";
75         }
76     }
77
78     auto begin(void) { return m.begin(); }
79     auto end(void) { return m.end(); }
80
81     Ret& operator[](const Key& key) { return m[key]; }
82     const Ret& operator[](const Key& key) const { return m[key]; }
83 private:
84     map<Key, future<Ret>> mf;
85     map<Key, Ret> m;
86 };
87
88 //-----
89 //-----
90 //-----
91
92 template<class ForwardIt, class GetValue>
93 double max_element_ignore_nan(ForwardIt first, ForwardIt last, GetValue get) {
94     return get(*max_element(first, last, [get] (auto& a, auto& b) -> bool {
95         if (isnan(get(a)))
96             return true;
97         else
98             return get(a) < get(b);
99     }));
100 }
101
102 //-----
103 void investigate_t_changing(
104     int n,
105     const string& filename,
106     const function<fem_result_t(double)>& ft
107 ) {
108     auto uniform_value = ft(0);
109
110     async_performer_t<fem_result_t, int> performer;
111
112     grid_generator_t grid(-1, 1, n);
113     for (int i = 0; i < grid.size(); i++) {
114         performer.add([i, ft, grid] () -> fem_result_t {
115             return ft(grid(i));
116         }, i);
117     }
118
119     performer.finish();

```

```

117 int counter = 0;
118 auto integral_residual_max = max_element_ignore_nan(performer.begin(), performer.end(), [] (auto&
119 ↪ a) -> double { return a.second.integral_residual; });
120 auto norm_residual_max = max_element_ignore_nan(performer.begin(), performer.end(), [] (auto& a)
121 ↪ -> double { return a.second.norm_residual; });
122
123 ofstream fout(filename + ".txt");
124 fout << "t\tintegral\ttnorm\tuniform_integral\tuniform_norm\ttime" << endl;
125 for (int i = 0; i < grid.size(); i++) {
126     auto v = performer[i];
127     fout
128     << grid(i) << "\t"
129     << (isnan(v.integral_residual) ? integral_residual_max : v.integral_residual) << "\t"
130     << (isnan(v.norm_residual) ? norm_residual_max : v.norm_residual) << "\t"
131     << uniform_value.integral_residual << "\t"
132     << uniform_value.norm_residual << "\t"
133     << v.time << endl;
134 }
135 fout.close();
136
137 //-----
138 void investigate_t2_changing(
139     int n,
140     const string& filename,
141     const function<fem_result_t(double, double)>& ft
142 ) {
143     async_performer_t<fem_result_t, pair<int, int>> performer;
144
145     grid_generator_t grid(-1, 1, n);
146     for (int i = 0; i < grid.size(); i++) {
147         for (int j = 0; j < grid.size(); j++) {
148             performer.add([i, j, ft, grid] () -> fem_result_t {
149                 return ft(grid(i), grid(j));
150             }, {i, j});
151         }
152     }
153
154     performer.finish();
155
156     auto integral_residual_max = max_element_ignore_nan(performer.begin(), performer.end(), [] (auto&
157 ↪ a) -> double { return a.second.integral_residual; });
158     auto norm_residual_max = max_element_ignore_nan(performer.begin(), performer.end(), [] (auto& a)
159 ↪ -> double { return a.second.norm_residual; });
160
161     ofstream fout(filename + ".integral.txt");
162     ofstream fout2(filename + ".norm.txt");
163     ofstream fout3(filename + ".time.txt");
164     int last_line = 0;
165     for (int i = 0; i < grid.size(); i++) {
166         for (int j = 0; j < grid.size(); j++) {
167             auto v = performer[{i, j}];
168             fout << (isnan(v.integral_residual) ? integral_residual_max : v.integral_residual) << "\t";
169             fout2 << (isnan(v.norm_residual) ? norm_residual_max : v.norm_residual) << "\t";
170             fout3 << v.time << "\t";
171         }
172         fout << endl;
173         fout2 << endl;
174         fout3 << endl;
175     }
176     fout.close();
177     fout2.close();
178
179     fout.open(filename + ".x.txt");
180     for (int i = 0; i < grid.size(); i++)
181         fout << grid(i) << endl;
182     fout.close();
183
184     fout.open(filename + ".y.txt");
185     for (int i = 0; i < grid.size(); i++)
186         fout << grid(i) << endl;
187     fout.close();
188 }
189 //-----
190 void investigate_functions(
191     const string& filename,
192     const function<fem_result_t(const function_3d_t)>& f
193 ) {
194     vector<pair<function_3d_t, string>> spaces, times;
195
196     spaces.push_back({[] (double x, double y, double t) -> double { return 1; }, "$1$"});
197     spaces.push_back({[] (double x, double y, double t) -> double { return x+y; }, "$x+y$"});
198     spaces.push_back({[] (double x, double y, double t) -> double { return x*x+y*y; }, "$x^2+y^2$"});
199     spaces.push_back({[] (double x, double y, double t) -> double { return x*x*y+y*y*y; },
200 ↪ "$x^2y+y^3$"});
201     spaces.push_back({[] (double x, double y, double t) -> double { return x*y*y; }, "$xy^2$"});

```

```

200 spaces.push_back({[] (double x, double y, double t) -> double { return x*x*x*x+y*y*y*y; },
    ↪ "$x^4+y^4$"});
201 spaces.push_back({[] (double x, double y, double t) -> double { return exp(x*y); }, "$e^{xy}$"});
202
203 times.push_back({[] (double x, double y, double t) -> double { return 0; }, "$0$"});
204 times.push_back({[] (double x, double y, double t) -> double { return t; }, "$t$"});
205 times.push_back({[] (double x, double y, double t) -> double { return t*t; }, "$t^2$"});
206 times.push_back({[] (double x, double y, double t) -> double { return t*t*t; }, "$t^3$"});
207 times.push_back({[] (double x, double y, double t) -> double { return t*t*t*t; }, "$t^4$"});
208 times.push_back({[] (double x, double y, double t) -> double { return exp(t); }, "$e^t$"});
209
210 async_performer_t<fem_result_t, pair<string, string>> performer;
211
212 for (auto& i : spaces) {
213     for (auto& j : times) {
214         performer.add([i, j, &f]() -> fem_result_t {
215             return f(function_3d_t([&] (double x, double y, double t) -> double { return
216                 ↪ i.first(x, y, t) + j.first(x, y, t); }));
217         }, {i.second, j.second});
218     }
219 }
220 performer.finish();
221
222 ofstream fout(filename);
223 fout << "a\t";
224 for (auto& i : times)
225     fout << i.second << "\t";
226 for (auto& i : spaces) {
227     fout << endl << i.second << "\t";
228     for (auto& j : times) {
229         auto v = performer[{i.second, j.second}];
230         fout << "\\scalebox{.75}{\\tcell{$" << write_for_latex_double(v.integral_residual, 2) <<
231             ↪ "$\\\\\\$" << write_for_latex_double(v.norm_residual, 2) << "$\\\\\\$" << int(v.time/1000)
232             ↪ << "$"}\\t";
233     }
234 }
235 fout.close();
236
237 int main() {
238     cout << calc_time_microseconds([]){
239         investigate_functions(
240             "functions_table_10_10_10.txt",
241             [] (const function_3d_t& u) -> fem_result_t {
242                 return calc_fem_residual(u, grid_generator_t(0, 1, 10), grid_generator_t(0, 1, 10),
243                     ↪ grid_generator_t(0, 1, 10));
244             }
245         );
246
247         investigate_functions(
248             "functions_table_50_50_50.txt",
249             [] (const function_3d_t& u) -> fem_result_t {
250                 return calc_fem_residual(u, grid_generator_t(0, 1, 50), grid_generator_t(0, 1, 50),
251                     ↪ grid_generator_t(0, 1, 50));
252             }
253         );
254
255         vector<pair<function_3d_t, int>> u_space_mas;
256         u_space_mas.push_back({[] (double x, double y, double t) -> double { return x*x + y*y + t*t;
257             ↪ }, 0});
258         u_space_mas.push_back({[] (double x, double y, double t) -> double { return x*x*x*x + y*y*y*y*x
259             ↪ + t*t*t*t*t; }, 1});
260         u_space_mas.push_back({[] (double x, double y, double t) -> double { return exp(x*y) +
261             ↪ exp(t*t); }, 2});
262         u_space_mas.push_back({[] (double x, double y, double t) -> double { return exp((1-x)*(1-y)) +
263             ↪ exp((1-t)*(1-t)); }, 3});
264         u_space_mas.push_back({[] (double x, double y, double t) -> double { return x*x*x +
265             ↪ y*y*y*y*x*x*t + t*t*exp(t); }, 4});
266
267         for (auto& i : u_space_mas) {
268             auto& u = i.first;
269             investigate_t_changing(
270                 750,
271                 "time_tgrid_" + to_string(i.second),
272                 [u] (double tt) -> fem_result_t {
273                     return calc_fem_residual(u, grid_generator_t(0, 1, 10), grid_generator_t(0, 1,
274                         ↪ 10), grid_generator_t(0, 1, 10, tt));
275                 }
276             );
277
278             investigate_t2_changing(
279                 75,
280                 "space_tgrid_" + to_string(i.second),
281                 [u] (double tx, double ty) -> fem_result_t {
282                     return calc_fem_residual(u, grid_generator_t(0, 1, 10, tx), grid_generator_t(0, 1,
283                         ↪ 10, ty), grid_generator_t(0, 1, 10));
284                 }
285             );
286         }
287     }
288 }

```

```
274         }  
275     );  
276 }  
277 })/1000/1000 << "s" << endl;  
278 system("pause");  
279 }
```